
HSC

Homomorphic Speech Compressor

ИЗДАНИЕ

Homomorphic
Speech
Compressor

'78 Jan

THEKMM

Homomorphic Speech Com
pressor の製作

◆ C Q 誌 '76年12月号に、エンベ

ローブ成分抑圧型スピーカ・プロ

セッサが掲載され、私も、興味を
持ち、実験をくりかえしてきました。

いくつかの記事がありました。し

かし、いずれも、静特性のみの測
定にとどまり、また、多少の誤解

がある様なので、私の見解を、述
べようと思います。さらに、諸 O
M 方からの、御批判および、御指
導を、仰ぎたいと思います。

◆ ます、名称ですが、「異体同形

」と訳されている様に、回路構成
などは、全く異質のものだ"が、コ
ンピュレッサと同じ動作を行なうも
のと"いう意味です。したがって、

Homomorphic Speech Processor

では、併せてなく、Homomorphic

Speech Compressor(以下、H

S Cと略す)といふ名の、S pea-

ch Processorであるといふ事で

す。

◇はじめに、試作段階で、ます、

驚いたのが、50dBもの、抑圧比で

した。そして、各部の波形を、今

エックし、レベルを合わせ、いよ

いよ、試作機で、実際に電波を、

出してみたところ、ローカル局か

ら、ガサガサするといふリポート

を、もらいました。波形測定時に

は、その様な差は、なかつたはず

だが、と思い、いぢいぢ、実験を

重ねていくうち、おもしろい事に

気が付き、さらに、コンプレッサ

ーの、理想的な、2つのタイマーに

ついて、考えた結果、このH S C

が、エンベロープ抑圧型であるの

「」などは「マス一字、歐文小文字、数字は「マス二字、歐文大文字、オーム、フアラドなど単位は、それをV、Ω、Fなどの標準符号でおねがいします。ボルト、

5

10

15

に対し、ピーコク抑圧型のものを、
 加え、この2つを、使い分けるのが、良いという結論に至りました。
 以下順を追って説明します。

◇原典の回路の動作。

第1図(a)が音声信号Sであるとすると、これは、エンベロープ成分E(低い周波数成分および直流)と、音声キャリア成分V(高い周波数成分)に分けて考え、音声信号は、音声キャリア成分と、エンベロープ成分の積となつてゐるのを、 $S = E \times V$ ——①

と表わされます。このEと、Vが、いくら、周波数成分が違うからといって、フィルタで、E成分のみを、取除くことがでません。それで、①式の両辺の対数をとり、

$$\log S = \log E + \log V — ②$$

5

10

15

として、和の形にしておいて、フィルタにより、 $\log E$ の成分を取り除き、得られたものを、 $\log S_0$ とすると、

$$\log S_0 = \log V \quad \text{--- (3)}$$

となり、この両辺の指數をとれば、

$$S_0 = V \quad \text{--- (4)}$$

となり、この処理で得られた S_0

は、エンベロープ成分が除かれた

S 、つまり、 V のみが得られると

いうものです。

しかし、これらの式は、概念的

には、これで良いのですが、数学

的には、少しあかしいのです。そ

れは、 S というのは、正、負、い

ず” S の値も、とり得るからです。

つまり、(2) 式の S は、 $|S|$ とし

なければ、正しくなりません。そ

うすると、前述の式は、次の様に

書き直さねばなりません。

（マス）などは「マス一字、欧文小文字、数字は一マス一字、（マス）など単位は、それぞれV、Ω、Fなどの標準記号であります。

5

10

15

$$S = E \times V \quad \text{--- (1)}$$

$$S = |E \times V|$$

$$= |E| \times |V| \quad \text{--- (1)}$$

$$\log |S| = \log |E| \times \log |V| - \text{--- (2)}$$

$\log |E|$ を除去。

$$\log |S_0| = \log |V| \quad \text{--- (3)}$$

$$S_0 = |V| \quad \text{--- (4)}$$

この様に、 $|V|$ は得られても、

$|V|$ は得られません。そこで、入力

S の符号と V の符号が、一致して

いるものとして、入力 S の、正負

に従って、 $|V|$ に符号を付ける

と、 $|V|$ が得られるのです。ここで

上の式からは、 S と V の符号が、

一致しているとは、限らないのです

ですが、 E に直流成分を含んでいて、

第1回(h)の様に、常に正とな

る、これを仮定すれば、 S と V の

符号は、一致します。

次に、原典の回路(CQ誌'76)

12月号、または、HJ, No. 9)

に、上式が、どうの様に対応してい
るかを、述べます。

1. U_1 は、入力信号 S を、増
幅する。

2. U_4, U_5 で、両波整流し、
 S とする。①式

3. U_6, U_7 の対数アンプで、
 $\log |S|$ とする。②式

4. U_8 のHPFで、 $\log |E|$
を除去する。③式

5. U_9, U_{10} の指數アンプで、
 $\log |V|$ を $|V|$ にする。④式

6. U_2 で、入力 S の符号を、
検出し、 U_{14} によって、 $|V|$ と
の積を作り、 V とする。

7. この積で作られた V は、
 $U_7 \sim U_{10}$ のスルーレイトに制限
されるなどして、波形がなまり、
0付近で、連続しないので、 U_{12}

オーム、
アラードなど単位は、
それぞれ V、Ω、
Fなどの標準
用語が一文字です。
CQ出版株式会社
電話一九四四四四四四
東京府品川区東五丁目一四
代表者

の LPF で、波形を、きれいにします。また、この LPF は、ノイズ"ブランカ"の信号をも、除いています。

8. S が 0 に近くなると、 $\log |S|$ は、 $-\infty$ に近づくので、それを、抑えるため、 U_3 のノイズ"ブランカ"信号を付加する。

以上の説明の中で、入出力が、反転しているところもあります。

これらから、掛算器 U_{14} は、合成動作などしなくて、ただ、入力信号の正負によって、単に、符号を切換えているにすぎない事に、気が付かれた方もいると思います。

そうです、この部分は、高価な、掛算器を使わずとも、第2回の様な、符号切換器に、置換える事ができるのです。この回路については、文献 3 など、トラ技に、何度も、紹介されていますので、

御存じの方も多いでしょう。第2
 図で、 V_c に+15Vを加え、アナロ
 グ"SWをオンになると、この回路は、ゲインー1の反転増幅器と
 なり、 V_c を0Vにし、アナログ
 SWをオフにすれば、ボルテージ
 フォロワに、なります。また、こ
 の回路は、かなりの高速動作を、
 強いられるので、抵抗値は、でき
 てかぎりの、小さな値としていま
 す。この符号切換器に、置換える
 事によつて、高価な、掛算器を使
 わずにつみ、さらに、調整箇所が
 2つも減ります。

また、この符号切換器を見て、
 思い付かれたかもしませんが、
 U_4, U_5 の、両波整流（絶対値増
 幅）というのも、入力が正の時は、
 +1、負の時は、-1のゲインを
 持つ、アンプと考えられるので、

ボルト、などは一マス一字、ラドなど単位はそれぞれV、マス、Fなどの標準
 りで、おねがい字です。

5

10

15

これも、符号切換器に置換える事がで"きます。これによつて、OPアンプが、1個減ります。

この2つの事を、要約すると、

入力電圧が正の時は、そのまま、

対数アンプ、HPF、指數アンプ

を通り、LPFへ接続し、入力電

圧が負の時は、反転して、正とし

ておいてから、同じ処理をして、

再び反転して、負とし、LPFへ

接続するという事です。(第3回)

)この事を考慮し、さらに、修正

したのが、第4回の回路です。

◇第4回の説明

1. 入力信号は、 A_1 で増幅さ

れますか、原典と、少し違ひます。

150 Ωに直列に $10 \mu F$ を入れた結

果、直流的に、100%の負帰還か

かかり、動作が安定し、ユニバーサル基板にも組む事がで"きます。

20

さらに、出力オフセットは、原典では、入力オフセット電圧の、ゲイン倍となり、最大で、何と、約700倍にもなります。しかし、このコンデンサによって、入力オフセットの1倍と、小さくなります。そのため、出力側のコンデンサを省略する事ができ、このリアクタンスによる、次段への影響も、小さくなります。

2. A_1 は、コンパレーターで、入力が、正の時、0V、負の時は15Vを出力します。これには、それにつながる、アナログSW、4066のための、レベルシフトと、高速性から、C-MOSのOPアンプである、CA3130Tを、单電源で、動作させています。

3. A_2 は、前述の符号切換器です。

4. A_3, A_4 は、対数アンプでです。原典では、ダイオードを使って、簡単にしていますが、ここでは厳密を期すためと、温度補償のために、デュアルTRを使つた。本格的な回路にしました。

5. A_5 は、原典通りの、 $f_c = 51\text{Hz}$ の 2 次バターワース HPF です。

6. A_6, A_7 は、指數アンプで、やはり、デュアルTRを使っています。

7. A_8 も前述の符号切換器です。

8. A_9 は、原典通りの、 $f_c = 2.5\text{kHz}$ 、通過域リップル 0.5 dB の、3 次チエビシエフ LPF です。

9. A_{10} は、モニタアンプです。

10. ノイズ・ブランカー信号用

発振器は、4066の半分が、余って
いるので、それを使って、マルチ
バイブレーターを作っています。
この周波数は、15KHzくらいで
す。

11. 使ったOPアンプは、A₁₁
以外は、すべて4558を使いました。
それは、スルーレイトが、741
の倍であり、また、ローノイズで、
しかも、実装密度が、高くなる、
デュアル・タイプで、あつたからで
す。値段も、200円くらいと、手
ごろです。これによつて、IC数
は、7個と、原典の半分となり、
コンパクトに組めます。

◇この第4回の回路で、試作第1
号を、作つてみました。（写真1
～4）モニターで、聞いた感じで
は、パルス性のノイズが、入つて
も、ゲインが死んでしまわないし、

大きな声にも、即座に応答し、うまく、コンプレッションが、かかっていい様に思えましたので、さっそく、実際に運用してみました。音には、うるさい、ローカル局の JH3HY5 松波氏にリポートをもらつたところ、確かに、変調レベルは、上がつていいが、少しガサガサして、聞きづらい。との事でした。59オーバーの、ローカル局だから、しかたないと思いつつ、始めから、考え方をしてみましたが。その結果、この事は、この回路に、原理的に時定数というものが、存在しないために起つたのではないか、という結論が得られました。つまり、ファースト・アタック、ファースト・レリーズというわけです。だから、声が入ると、すかさず、(等価的に)ゲインが、

下り、コンプレッションされます
が、声がとぎれると、やはり、即
座に、ゲインが上り、ノイズ"が、
浮き上がり、てきて、声と、ノイズ
の、かけ合いの様になってしまふ
のです。これが、ガサガサすると
いう原因の様です。この事は、入
力や、NBのレベル調整によつて、
軽減する事が、できますが、コン
プレッション効果も、薄れ、本質
的に、のがれる事は、でません。

この事について、詳しく、調べ
るため、いくつかの実験を行い、
今までの、コンプレッサとの、違
いなども、調べてみる事にしまし
た。

◆従来のコンプレッサとの比較

この実験で、使用した、従来の
コンプレッサは、JH3HYS
松波化の製作によるもので、CQ

誌、'72 8月号の記事のものと、同じだそうです。これを、HSCに対して、CSC(Convention-al Speech Compressor)と略しておきます。また、この試作第1号機の方は、エンベロープの意味のEをサフィックスに付けて、HSC-Eとしておきます。

まず、この2つの静特性を、第5図と第6図に示します。ここで注意すべきは、第6図(a)の、抑圧比です、優に50 dBはあります。第5図(b)の、コンプレッションが、かかるた状態で、低域に、ピークがでていますが、これは、フィード・バッフ回路での整流回路の、リップル分が、正帰還してきているものと思われます。また、第6図(b)で、コンプレッションが、かかるた状態で、50

0 Hz 以下で、歪が発生していりますが、これは、HPF のためです。

これらの相違は、あるものの、この図からは、決定的な違いは、よくわかりません。

そこで、次に、動特性、つまり、先ほど“の応答性を調べるために、第7図の回路で、実験をしてみました。これは、入力レベルを、ステップ状に、20 dB、40 dB 変化させた時に、出力が、どうなるかを、調べたものです。写真5が、それでですが、(a) (b) を見ると、直流レベルが変動しているのと、レリースタイムが、1秒ほど、あるのが、よくわかると思います。それにくらべ、HSC-E の場合は、直流レベルの変動は全くなく、レリースタイムも全くないのが、わかります。この写真では、わか

りにくいのですが、入力が増加したとたんに出力に、細いパルスが出ていたので、第8図の様にしてみました。これは、一種の、トン・バーストです。(完全に0にならないで、少しもれています。)この波形が、写真6です。レベル変化が、大きいほど、このパルスの振幅が大きくなっているのが、わかると思います。これは、なぜ生じるのでしょうか。次に、それを調べるため、内部の波形を、見てみました。それが、写真7の、(a)～(e)です。これは、それぞれ、第3図の、D～Gに、対応しています。これを見ると、パルスは、HPFの、過渡応答成分によって、生じたレベル変化が、指數アンプによって、拡大されて生じたものである事が、わかると

思います。音声では、この様な、
ステップ変化は、あまりないと、
思われますので、理論に出てきた、

$E \times V$ の波形を入れてみる事にし
ました。第9図の様に、Eとして、
 10 Hz の正弦波、Vとして、 1 kHz
の正弦波としてみました。これ
によると、 $E > 0$ の時は、Vのみ
が、出できます。（写真8-a）し
かし、Eが、負にもなる様な場合
には、0交差するため、第3図の、
E点で、このE成分の完全な除去
ができなくなってしまい、出力に
は、細いパルスとなって現れます。

（写真8-b）これは、第10図の様
に、絶対値アンプの出力は、高調
波成分だけとなり、対数アンプを
通すと、その高調波成分が強くな
ります。そのため第11図の様に、
EとVが、オーバーラップしてし

まい、HPFで、E成分だけを、
除く事は、そら簡単に、できな
からなのです。

また、このフーリエ級数展開の
計算の際に、入力正弦波の振幅は、
対数アンプの出力の高調波成分に
は関係しなくて、たゞ、直流レベ
ルにのみに、関係する事がわかり
ます。つまり、対数アンプの出力
波形は、入力の振幅を変化させた
ところで、波形は、全く変化せず
その直流レベルが、変動するだけ
だということです。だから、振幅
を一定にしようとすれば、この直
流レベルを、一定にしてから、指
数アンプに通せばよいことになり
ます。原典のHPFは、ほぼこの
目的を、果していいる事も理解でき
ます。しかし、HPFでは、過渡
応答成分があるため、この変動が、

出力には、大きな変化を、及ぼすことになるのです。これは、ステップ変化に限りません。つまり、音声の振幅は、ほぼ一定になりますが、大きなレベルになることもありますし、しばしばあると云う事です。したがって、この使用に当っては、終段の飽和を考慮し、ALCの監視が必要となります。

◇マイクコンプレッサに要求される特性として、大きく分けて、

タイプ1

限られた電力範囲内で、より能率の良い情報伝達を行なおうとするものです。

タイプ2

マイクと口の間隔が変化したり、音の大きさが変化しても、常に、一定の出力を得ようとするものです。

の2つがあると思ひます。今まで述べてきた、HSC-Eは、どうも、このタイプ1を目指したものと思われます。私としては、タイプ2の方を望んでいたので、このHSC-Eに手を加えてみる事にしました。

前述の、直流レベルを一定にする方法として、ピークを、とらえる方法があります。それが、第12図のレストアラー^③です。これは、下限を、強制的に、GNDレベルにしてしまうもので^④す。これを、HPFの代りに入れると、いったい、どういう動作を、するでしょうか。（対数アンプの出力は、反転しているので、下側が、ピークに相当する）入カレベルが、急に上っても、波形の1/4サイクルで、追従動作を行ない、その後の

波形は、レベル変化の前と同じピーカークの波形となるでしょう。しかし、レベルが下ったときは、追従動作はしないので、抵抗を付けて、コンデンサの電荷を放電して、次のピーカーに備えます。これが、リースの時定数となります。また指數アンプの入力の関係から、レベルシフトを入力で行ない、バックファを付けました。それを、第13図に示します。従来のコンプレッサー（フィード・バックおよび、フィード・フォワード）は、信号回路と、振幅制御回路とを、分けいますが、この附加した回路は、それらを同時に処理してしまうので、やはり、HSCと呼ぶ事ができることでしょう。今度のは、ピーカークを抑圧するので、HSC-Pと名づけておきます。また、この、

同時処理のため、従来問題となつていた、アタックタイムは、非常に小さくなっています。それが写真9です。写真5と比べて見てください。入力が急に大きくなつても、一定の出力が、レベル変動なしで、きれいに出ています。さらに、時定数が同じくらいなのに、回復が速い点に注意してください。バッファの出力は、写真10の様に変化していきますので、出力は、ほぼ直線的にレベルが上昇していきますからです。また、この時定数は、ほぼ0から、4秒くらいまで変えられます。ただし、この値は、20 dB変化の場合で、入力のレベル変化によつて、時定数も、変わつてきます。また、第9回の回路で、出力は、写真12の様になります。写真8と比べると、このHS

C-P の特長がよく表わされていい
と思ひます。平均変調度は、さほ
ど、上っていません。しかし、コ
ニフレッション作用は、第14図の
様に、HSC-E と、変わりあり
ません。さらに、低域での歪は、
全くありませんし、ピーク値は、
一定レベルで制限され、それを、
越える事は、けしてありません。

HSC-E, -P の各部の波形
を、写真13に示しておきます。

◇ HSC の特長

HSC-E と HSC-P の特長
を比較してみましょう。

□ HSC-E

1. 平均変調レベルが上る。
2. ガサガサするが、DX向き。
3. パルス性の、ノイズで、ゲ
インが、死んでしまわない。
4. 音声が入っても、バックノ

イス"レベルは、あまり、低下しないので、バックノイズを、小さくしておく必要がある。この事は、部屋の、残響音をよく拾うという事を意味する。

□ HSC-P

1. 平均変調レベルは、そして上らないが、歪が少ない。
 2. すっきりしていて、ローカル向き
 3. ファースト・アタック、スロー・リリース特性だが、回復が速い。
 4. 音声が入ると、バックノイズは、減少する。音声のピーク値が、一定レベルを、けして越えない。
- いずれも、ALCメーターが、ほとんど振らない様に、出力レベルを調整すれば、スプラッターの発

生は、全くありません。

これらの特長は、タイプ1と、
タイプ2の、両極端を示していって、
相反する事がうです。したがって、
この両方を満足する様な物は、で
きないと想います。それで、本機
の様に、状況に応じて、切換えて
使うのが、ベストではなってしょ
うか。

□製作に当って、

第13図の回路では、FT101 か
ら、電源をもうるために、空いて
いる4ピンに、12Vをかけ、DC
-DCコンバーターで、±15Vを
得ていますので、ハムの心配を、
しなくて済みましたか、AC電源
を利用する場合には、トランスを
内蔵しない方が、良いと思ひます。

一点アースを、ちゃんと守って

いれば、 $330 \mu H$ 、1個で、RFの回り込みは、ピタッと止まります。これは、足を短かめにして、コネクターに直接付けます。

対数アンプや、指數アンプは、回路図通りの定数で、発振しないと思ひますが、もし発振した場合は、位相補償のコンデンサを、大きくしてみてください。

調整ですか、掛算機を使わずに済んだおかげで、調整らしい調整はありません。各トリムホットは、マイクや、リグ、自分の好みなどによって、合わせてください。本機は、試作機なのでパネル面に、すべて出してあります。一度合わせれば、ほとんど、さわらなくてよいので、基板に載せてしまった方が、良いでしょう。

本機は、試作機なので、参考に

なうないかかもしれません、一応
第16図に基板の配置を示しておき
ます。

フェライトコア（私は、ジャン
ク屋でやつと見つけた）以外は、
すべて、入手しやすい物ばかりだ
と思います。さて、制作費ですが、
ケース、SW等を含めても、￥7
K～8Kくらいで、できると思
います。

□ あわりに、

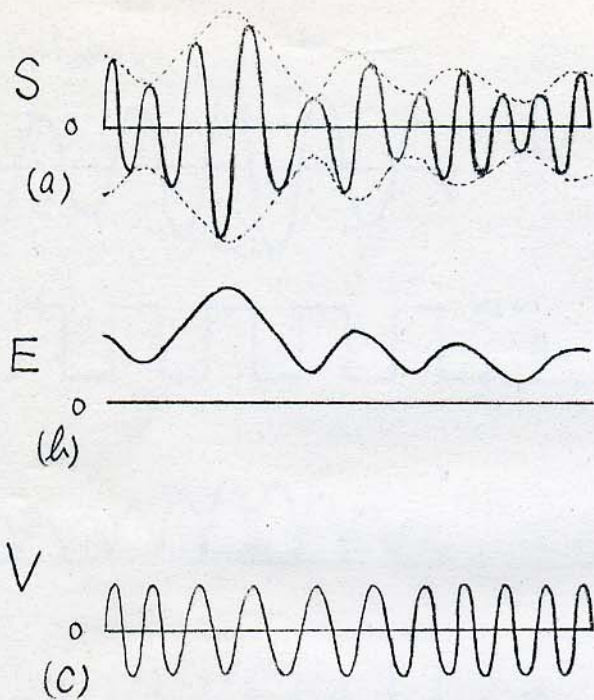
HSC-Pが、オールマイティ
だとは、言えないかかもしれません
が、コンプレッサの最も整った特
性を持つていると言えるでしょう。

また、動特性の測定の方法は、
私の方法では、不充分かもしれません
が、静特性だけでは、ほんと
うの特性を、表わす事ができない
のも事実です。今後とも、この様

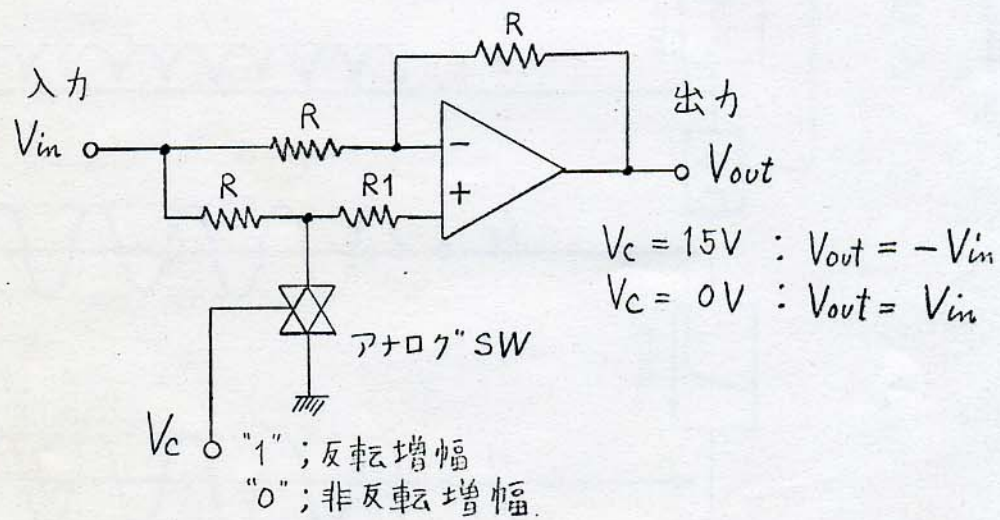
な記事には、動特性も示してくれた
さる様お願ひしたいと思ひます。
いくら、アタックの特性を改善し
たと言つても、それを示すデータ
が、なければ、なんにもならぬ
のですから。

参考文献

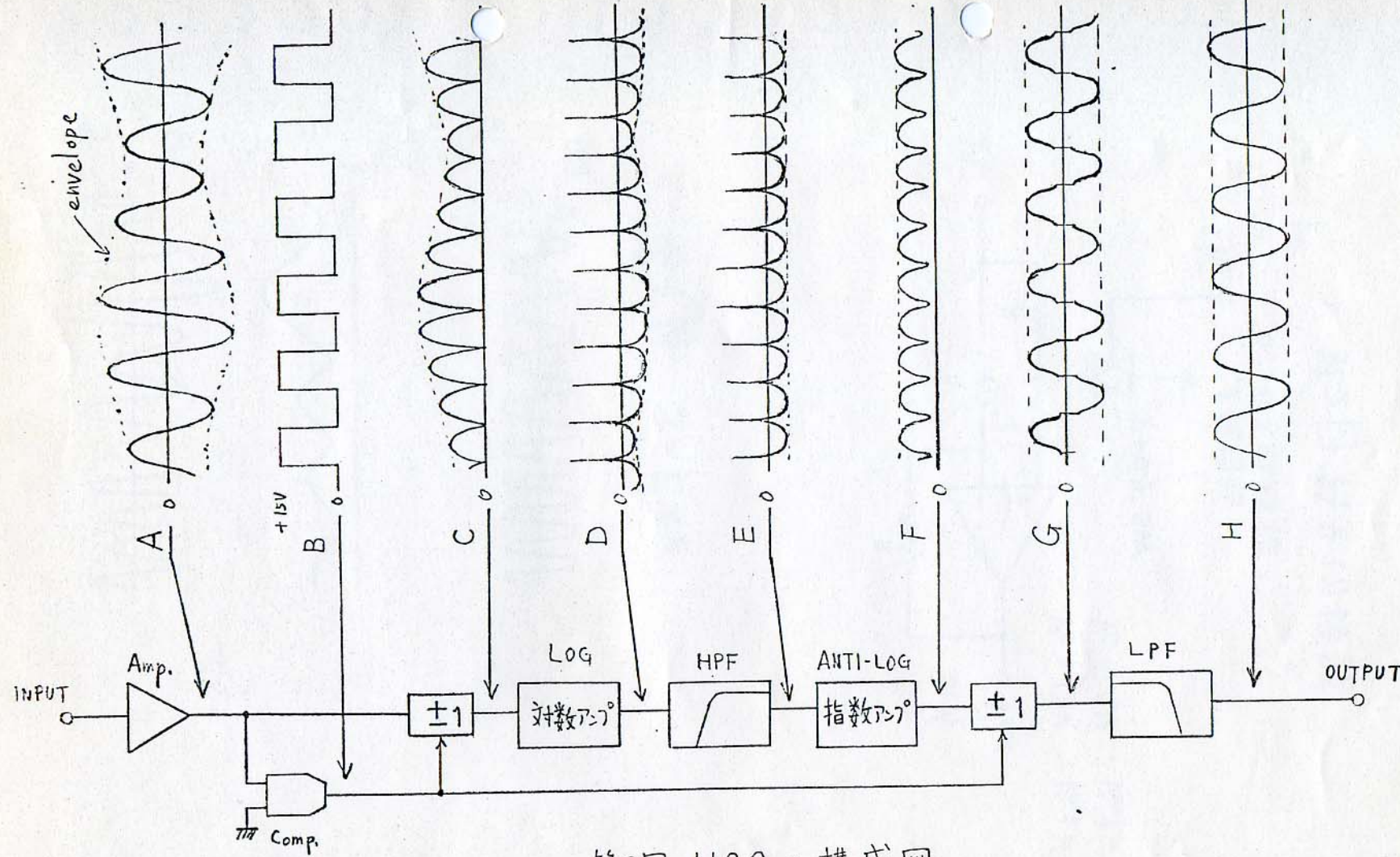
1. CQ誌'76 12月号 技術展
望「エンベロープ成分抑圧型
スピーカ・プロセッサ」
2. CQ誌'72 8月号「歪の少ない
オーディオ コンプレッサ
」JA1RJU 小笠原一夫
← HJ No.3
に同一記事有
3. トランジスタ技術'77 2月号
第2世代のOPアンプ P156,
P158, P159
4. 電子科学'75 12月号「アク
ティブフィルタの設計公式」
金光 磐
5. H. J. N. 9 スピーカ
プロセッサ JA7SSB
斎藤 酒亨爾



$$\text{第1図 } S = E \times V$$



第2図 符号切換器

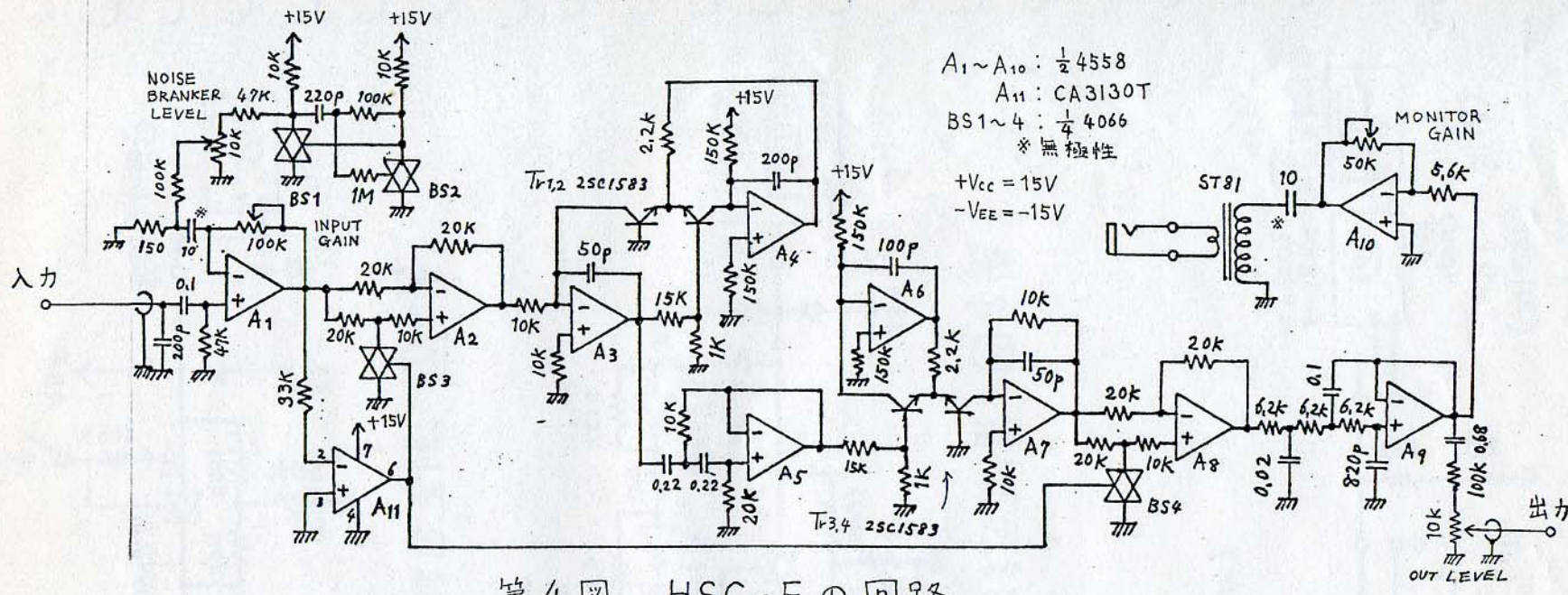


第3回 HSCの構成図

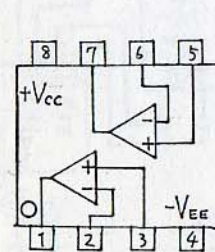
~~Homomorphic Speech Compressor~~

77 Mar

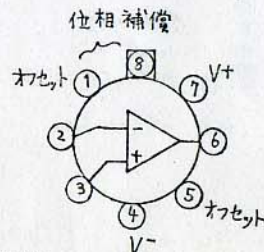
SHISEKKEI



第4図 HSC-Eの回路

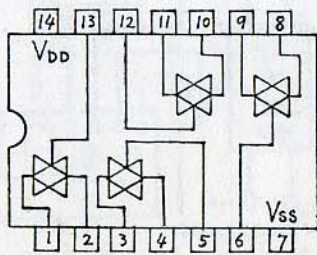


4558

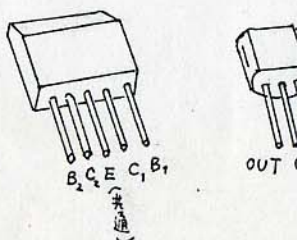


上面図

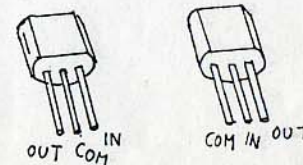
CA3130T



4066



2SC1583

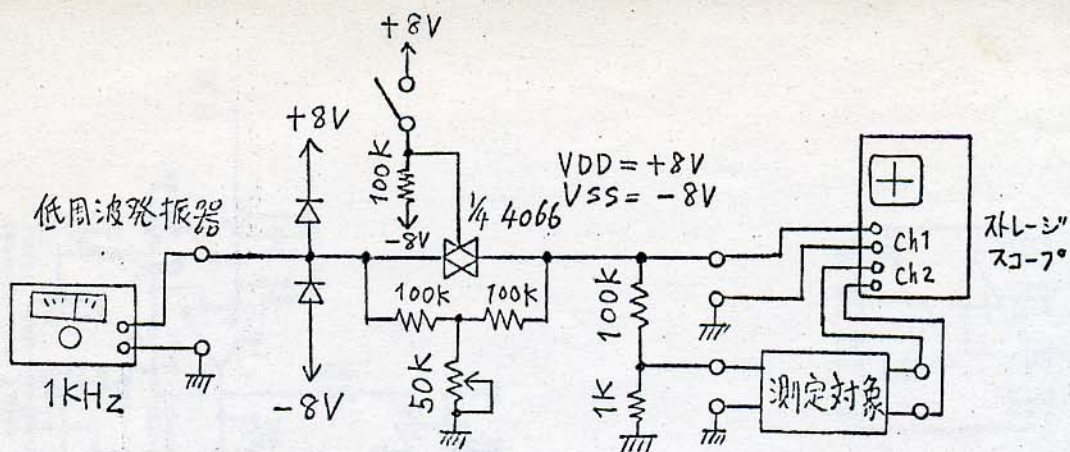


78L15

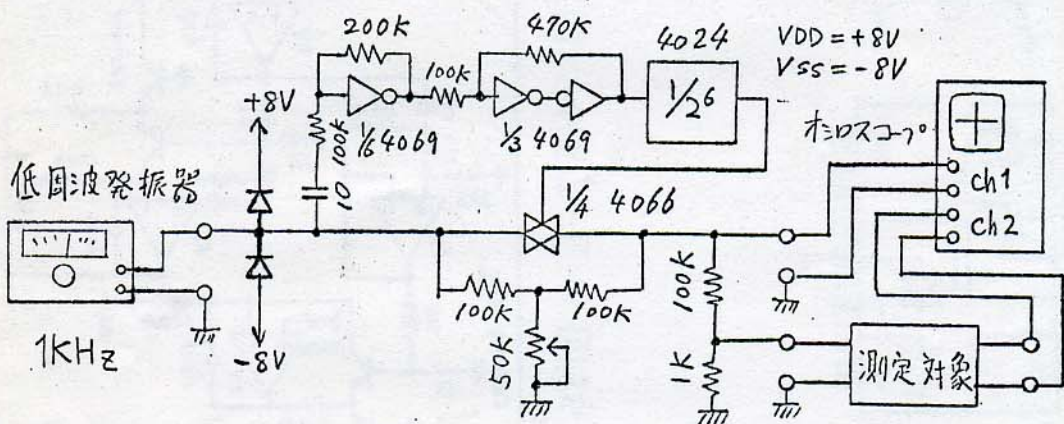


79L15

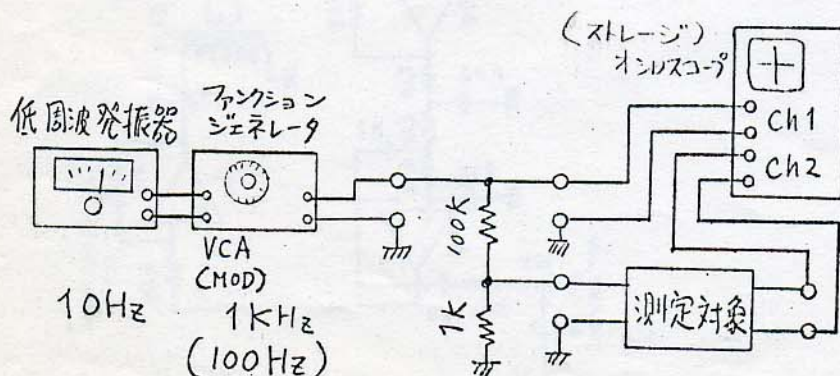
第15図 各デバイスのピン接続



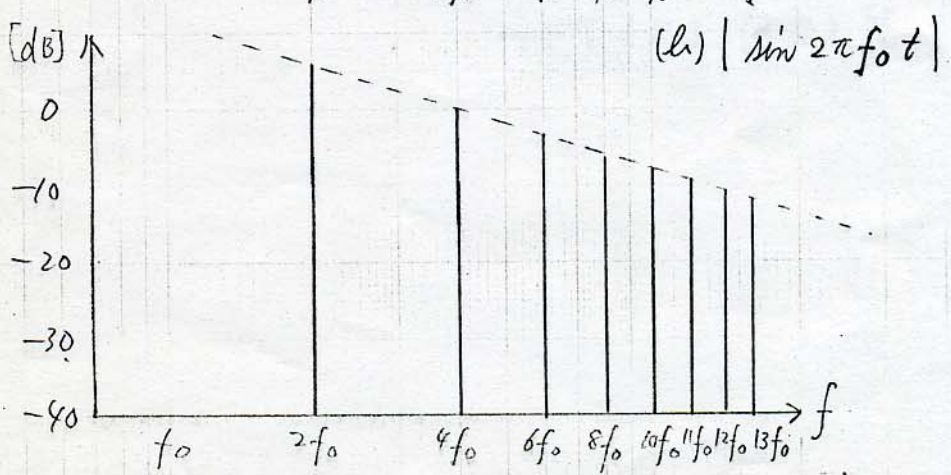
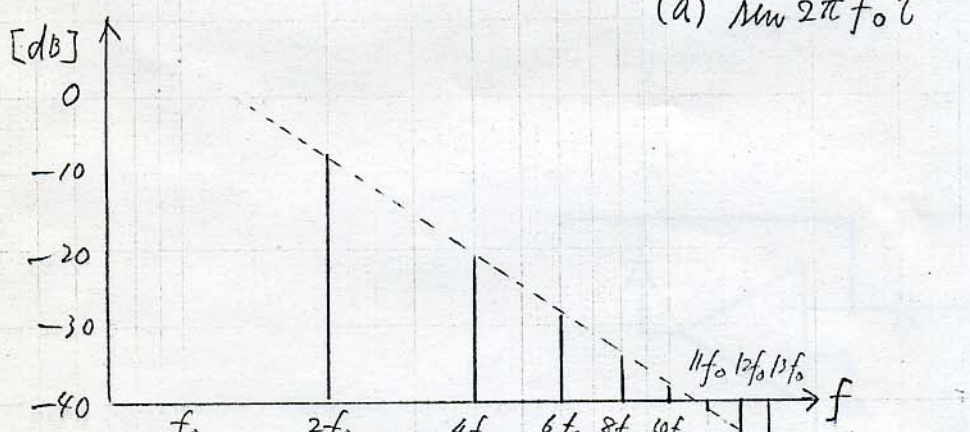
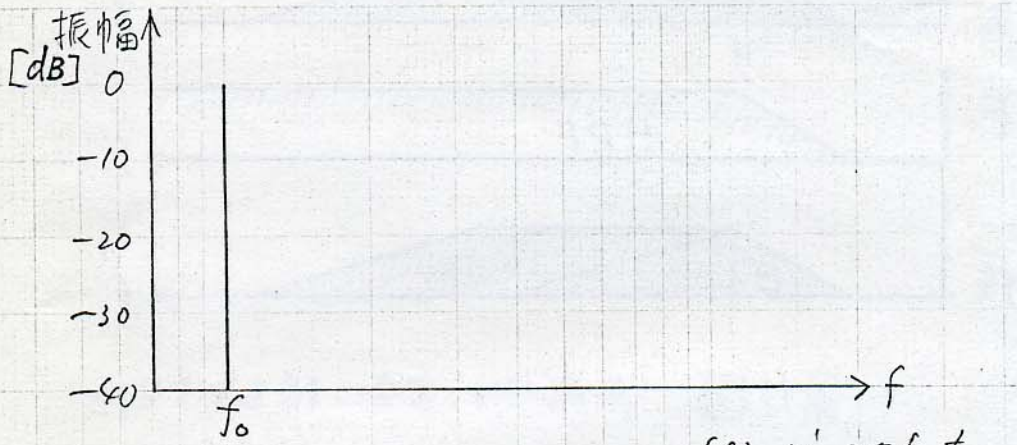
第7図 測定回路 1



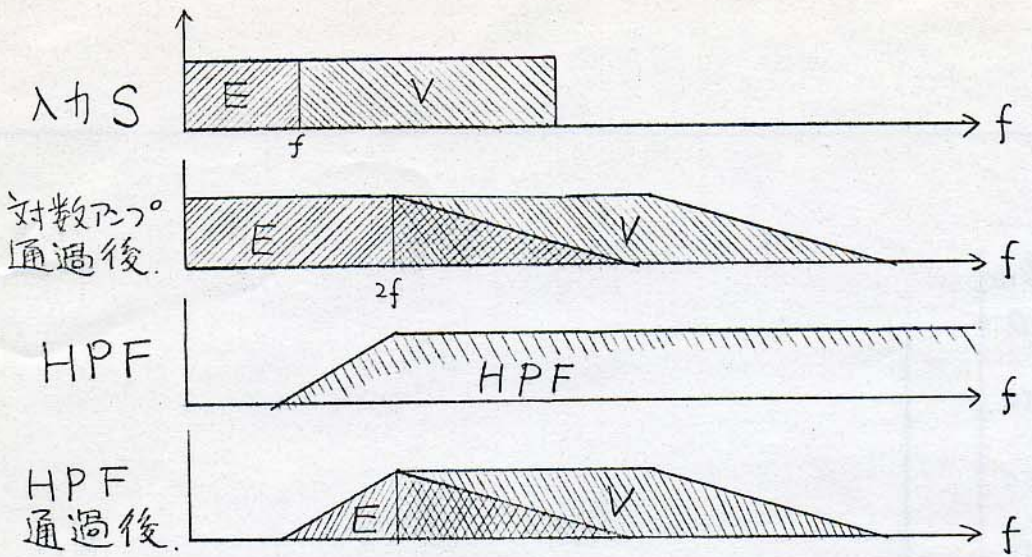
第8図 測定回路 2



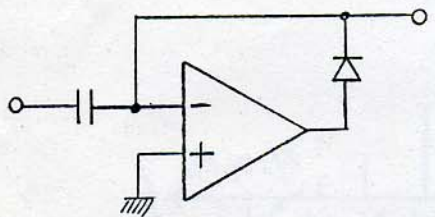
第9図 測定回路 3



第10図 周波数スケートル



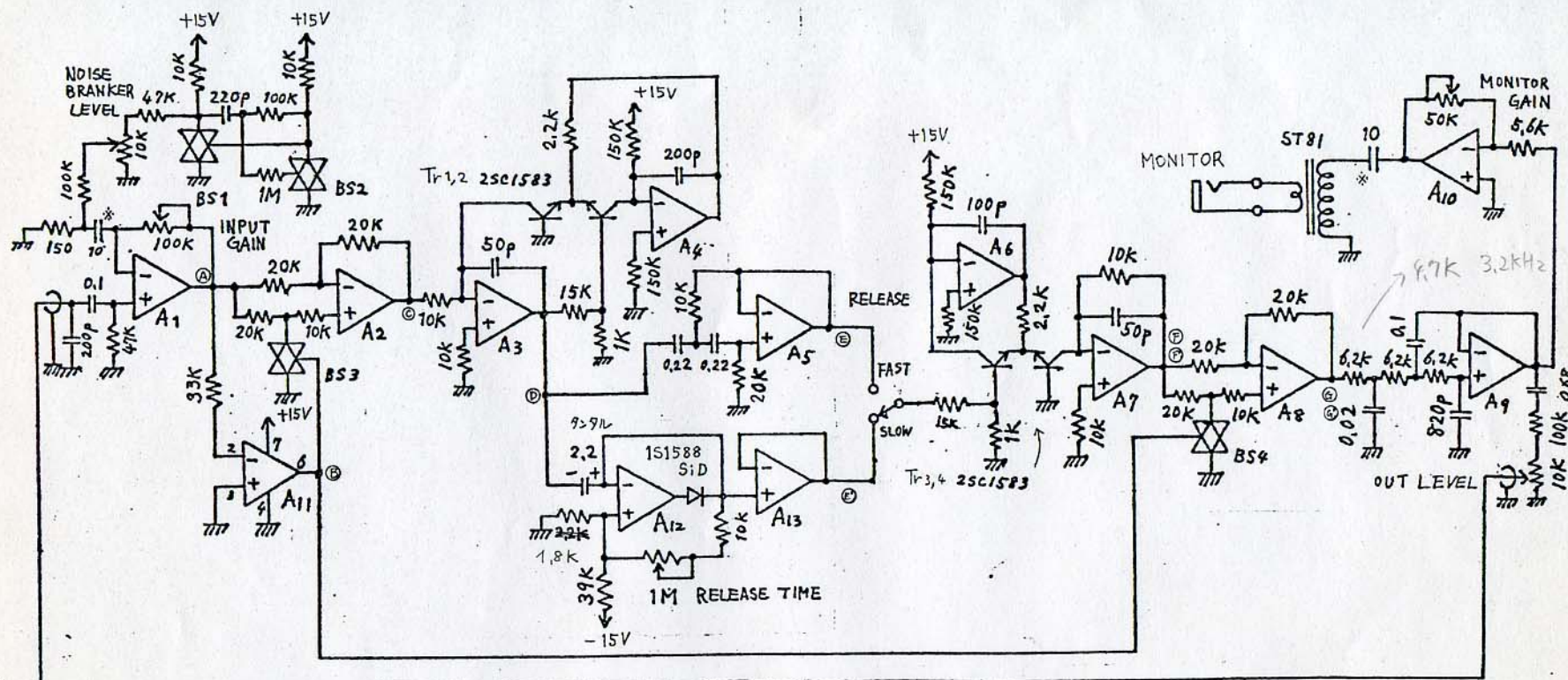
第11図 E 成分は、完全に除去できない。



第12図 レストアラー

Homomorphic Speech Compressor

77 Sep



$$A_1 \sim A_{10} : \frac{1}{2} 4558$$

$$A_{11} : CA3130T$$

$$BS1 \sim 4 : \frac{1}{4} 4066$$

$$A_{12}, A_{13} : \frac{1}{2} 4558$$

*無極性

$V_{DD} = +15V$
 $V_{SS} = GND$

第13回 HSC-E,-P の全回路

JHEKHM

出力 [mV_{rms}]

100

10

1

0.1
0.1

1

10

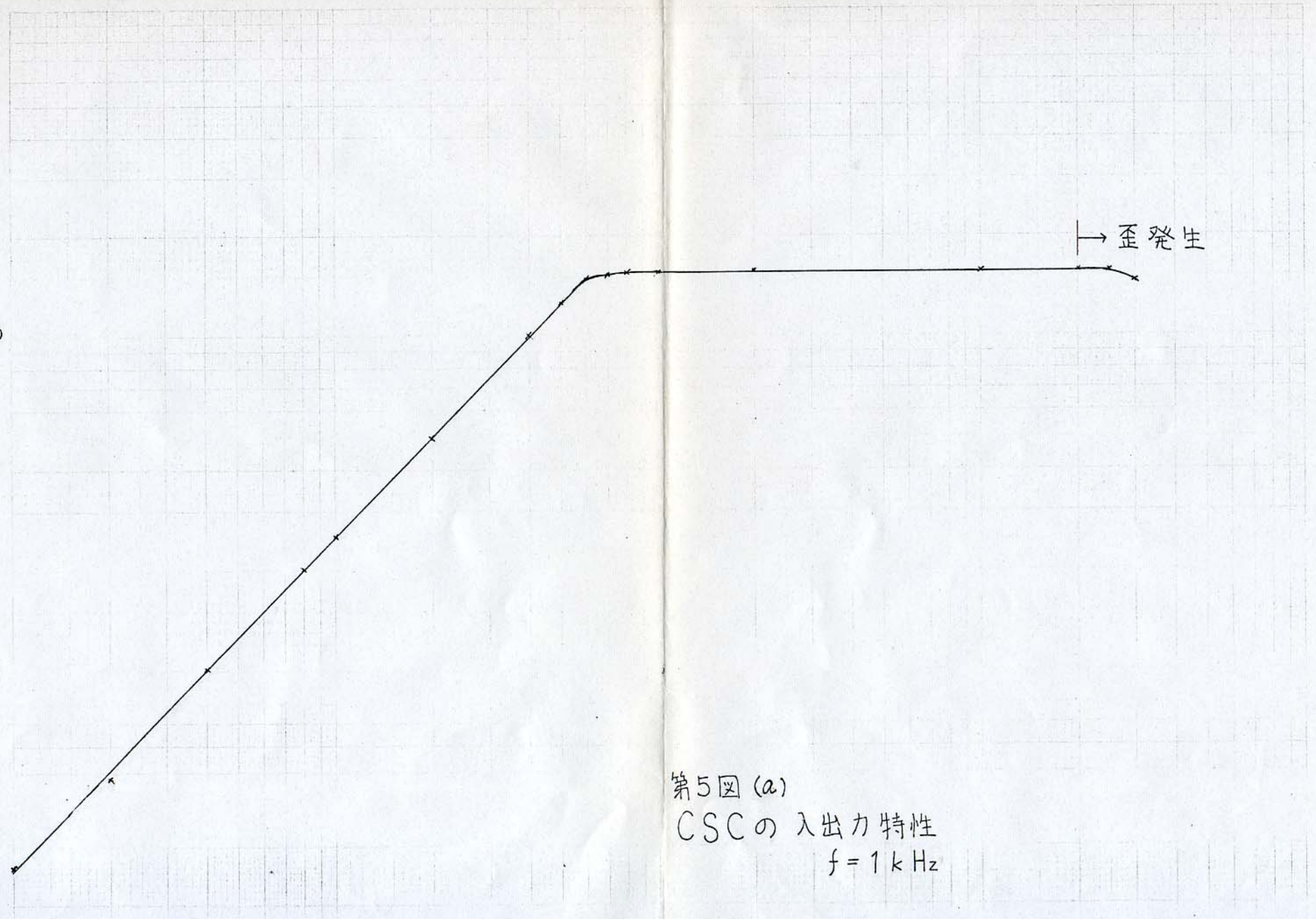
100

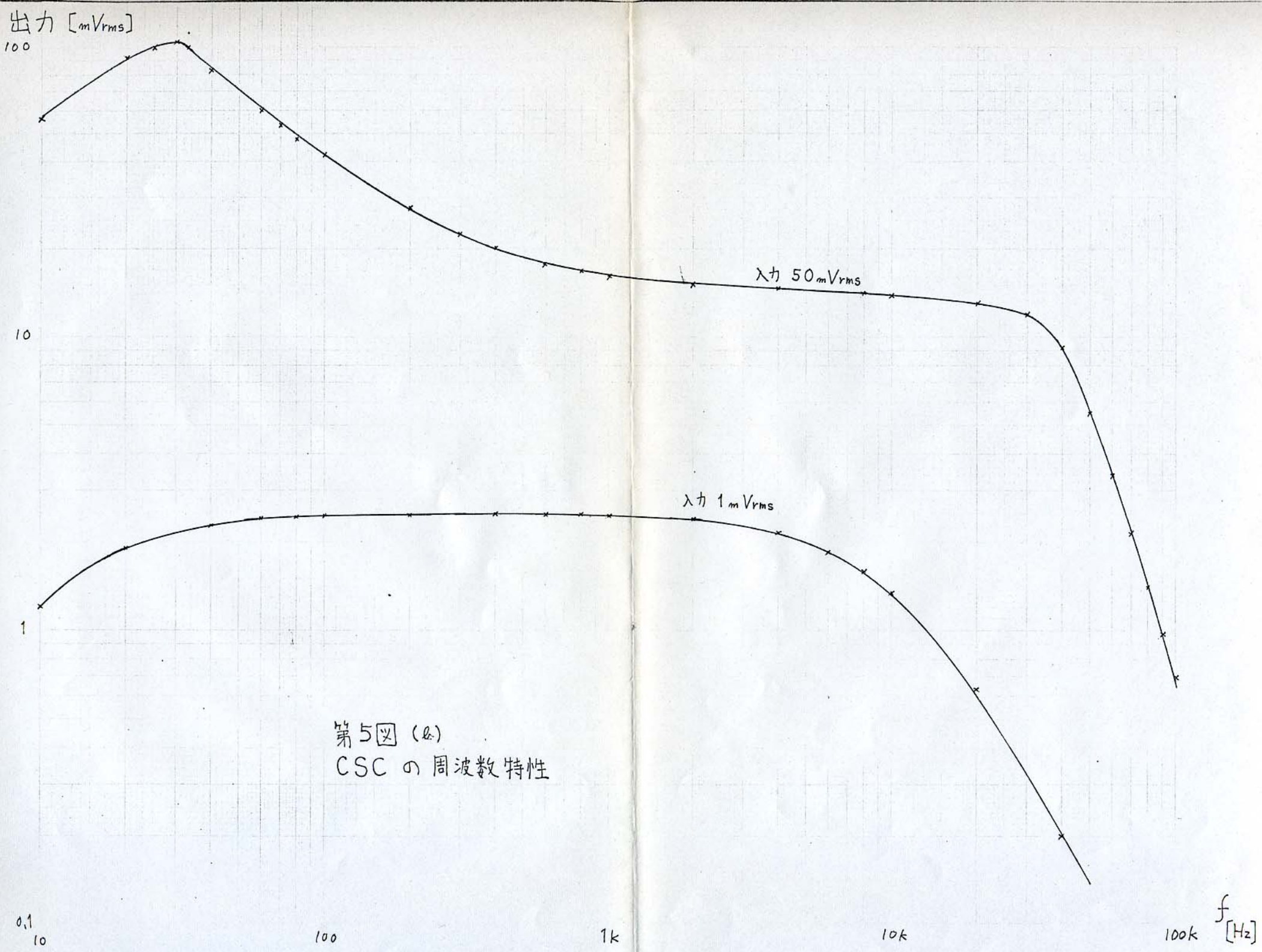
300

入力 [mV_{rms}]

→ 歪発生

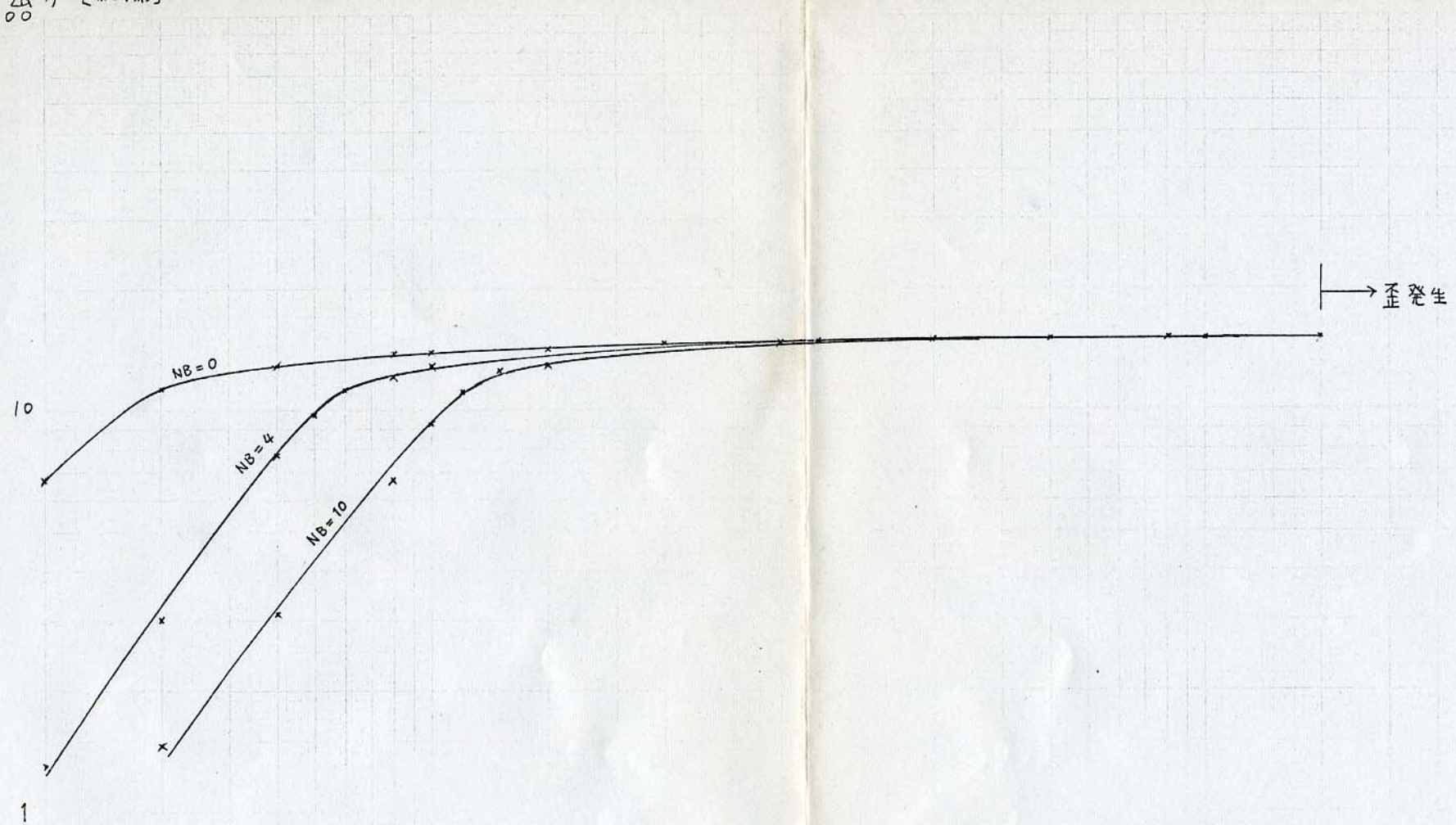
第5図 (a)
CSCの入出力特性
 $f = 1\text{ kHz}$





第5図 (b)
CSC の周波数特性

出力 [mV_{rms}]



第6図 (a)
HSC-E の入出力特性
 $f = 1 \text{ kHz}$

0.1

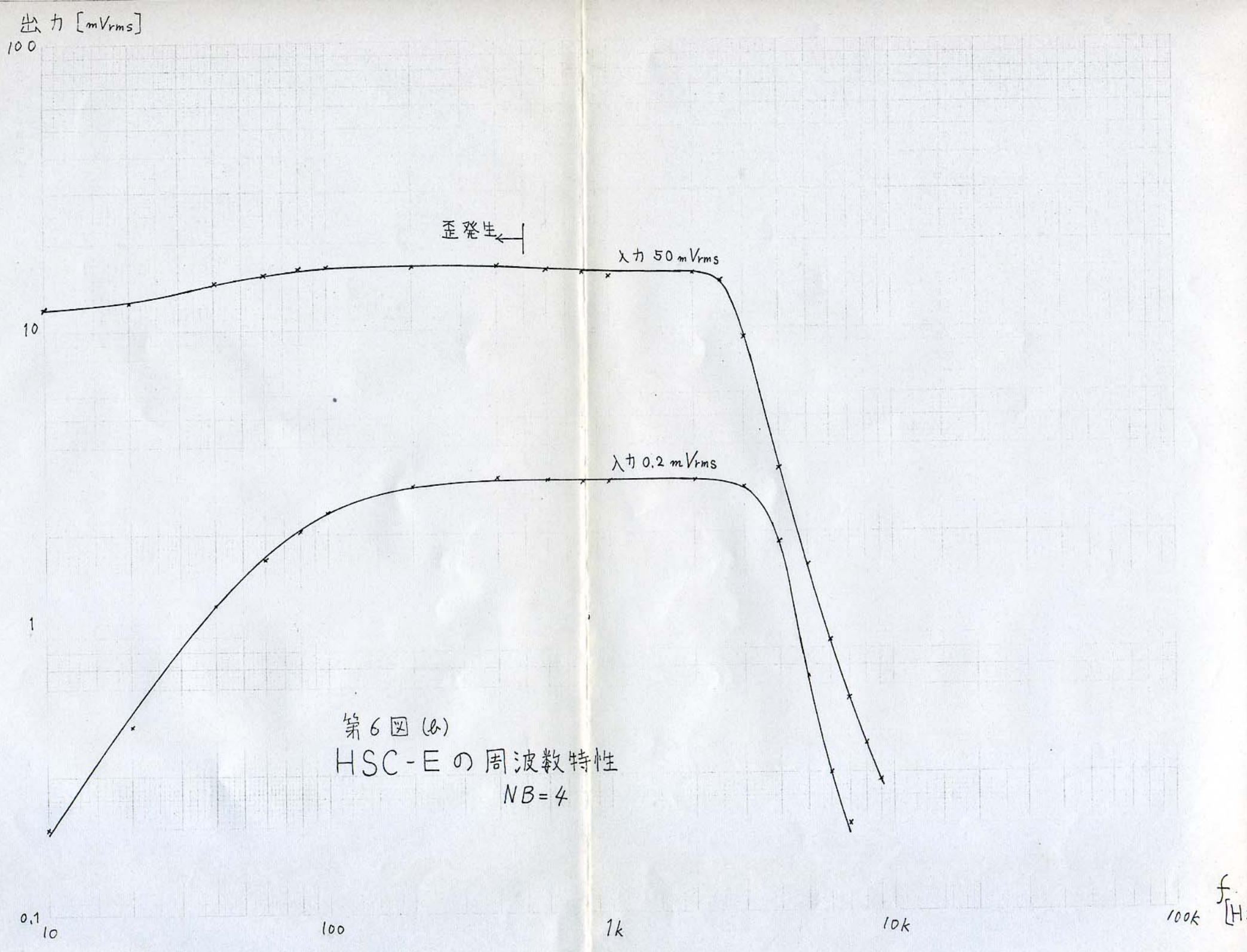
1

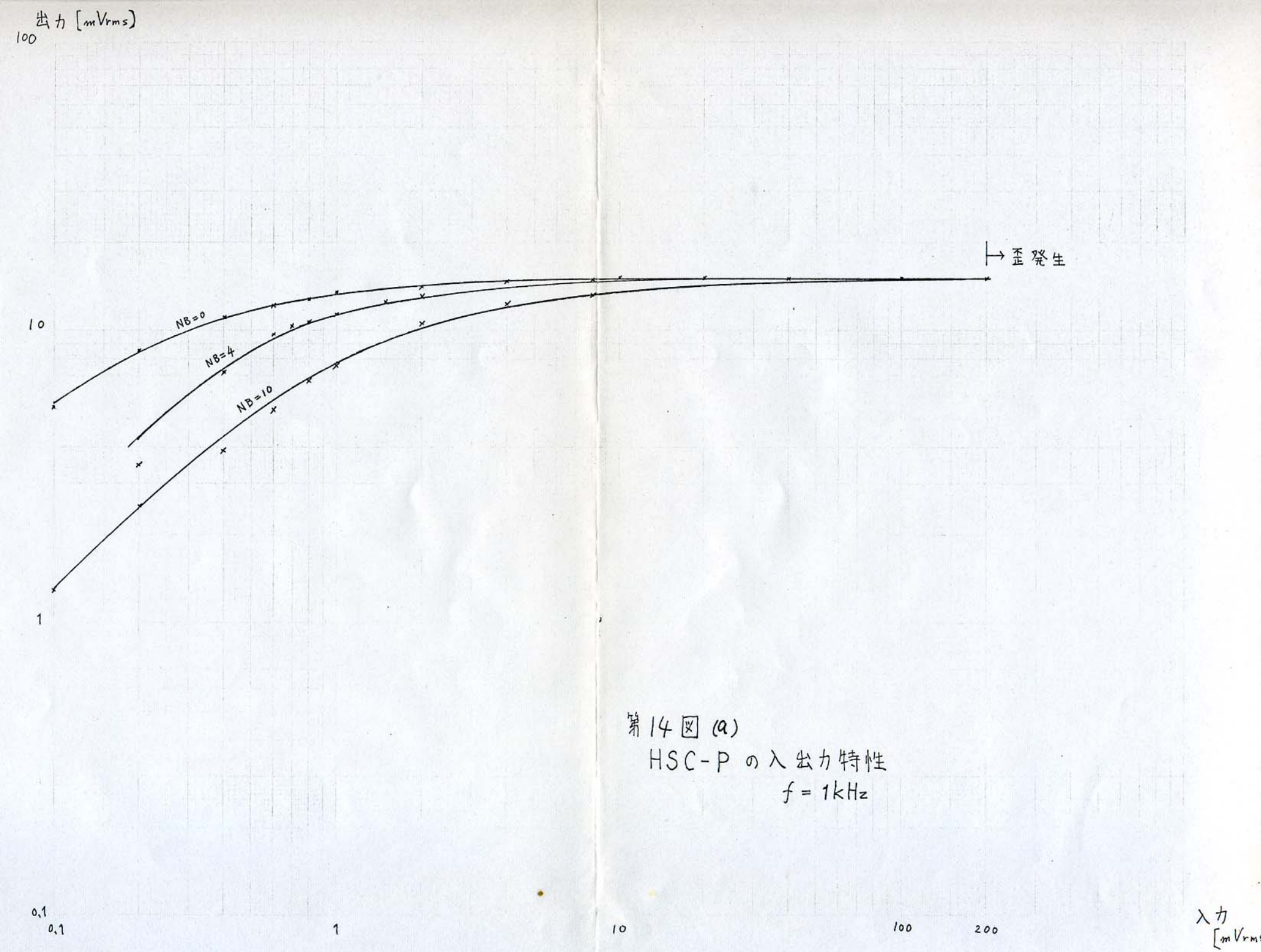
10

100

200

入力 [mV_{rms}]





出力 [mV_{rms}]

100

入力 $50 mV_{rms}$

10

入力 $0.2 mV_{rms}$

第14図 (a)
HSC-P の周波数特性
 $NB = 4$

0.1

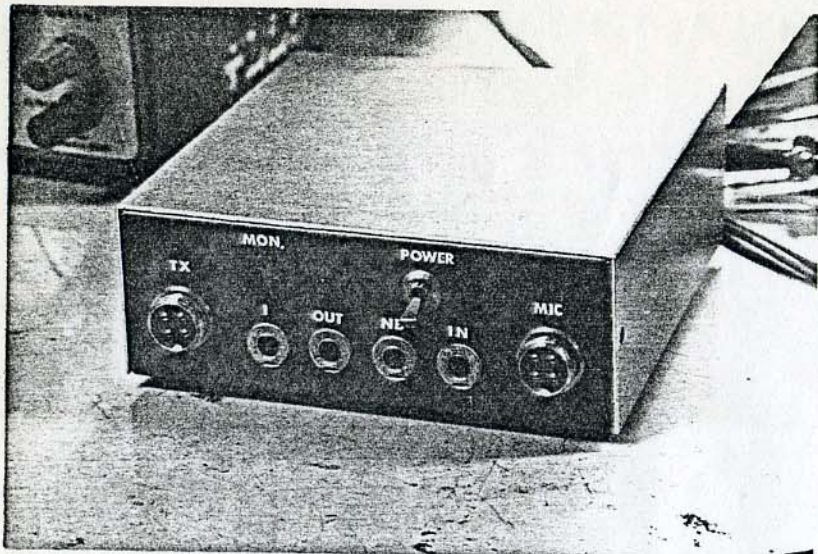
10

100

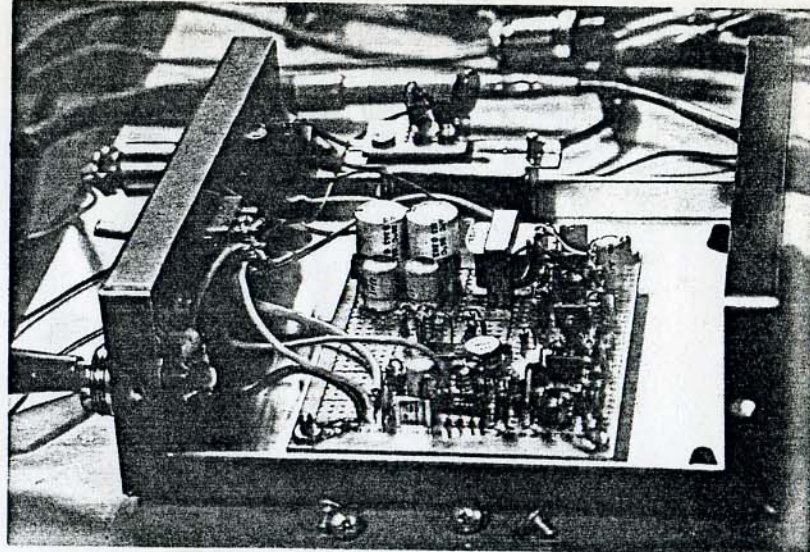
1k

10k

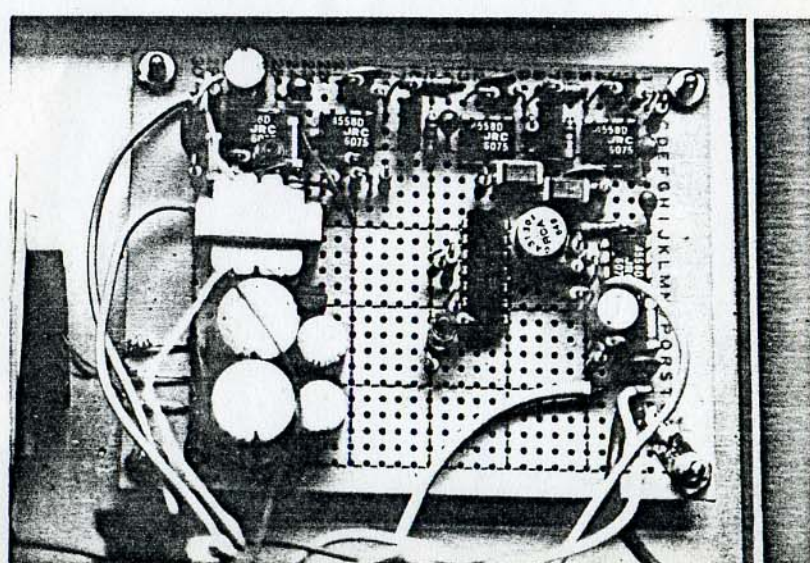
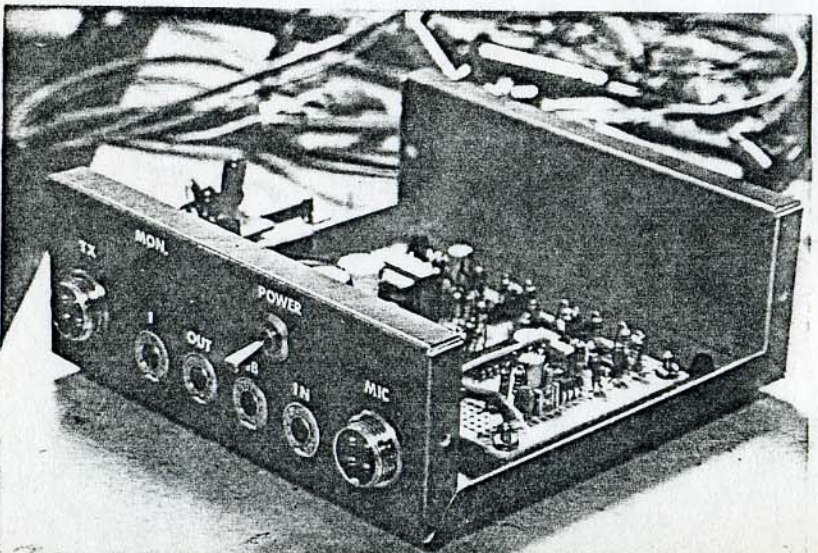
f [Hz]
100k



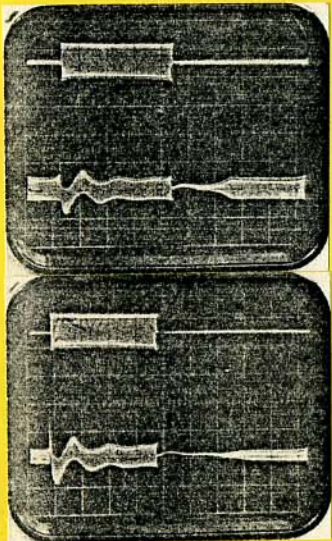
↑写真1 ↓写真2



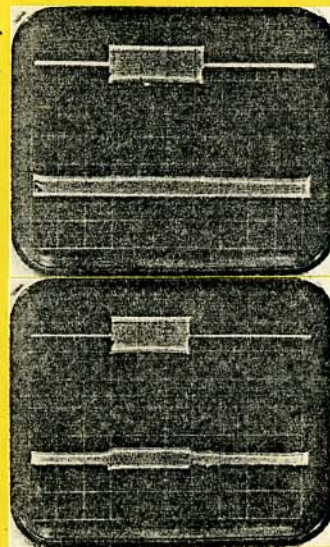
↑写真3. ↓写真4 試作第1号



CSC



HSC-E



HSC-E

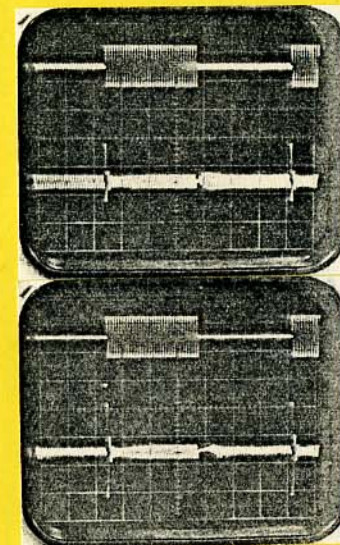


写真5.

上：入力 0.1V/div

下：出力 0.05V/div

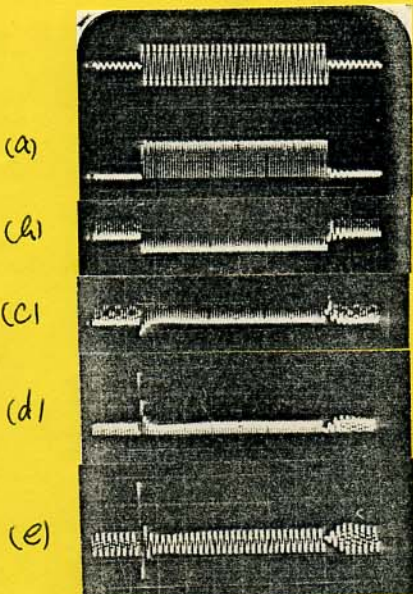
↔ 0.5 sec/div

写真6

↑ 0.1V/div

↔ 10mS/div

写真7 HSC-E の各部の波形



入力 $5 \text{mV}_{\text{rms}} \leftrightarrow 50 \text{mV}_{\text{rms}}$ 20dB 変化
 $\downarrow 0.1 \text{V/div} \leftrightarrow 5 \text{mS/div}$

C点 $\downarrow 2 \text{V/div}$

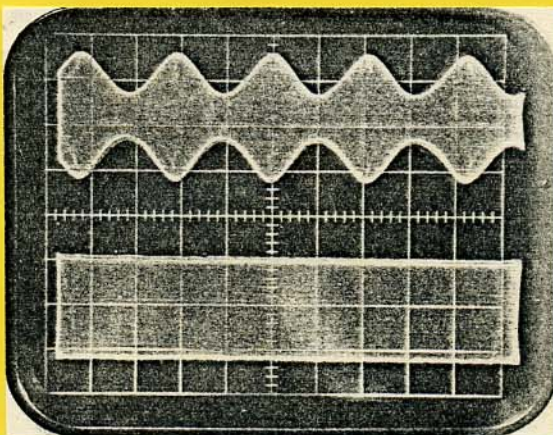
D点 $\downarrow 2 \text{V/div}$

E点 $\downarrow 2 \text{V/div}$

F点 $\downarrow 5 \text{V/div}$

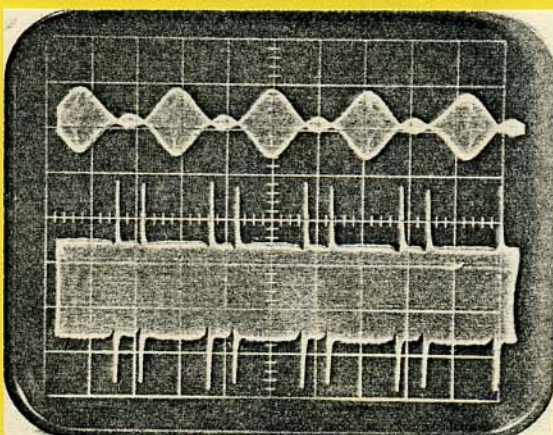
G点 $\uparrow 5 \text{V/div}$

写真8 HSC-E



入力 $\downarrow 0.05 \text{V/div}$
 $\leftrightarrow 50 \text{mS/div}$

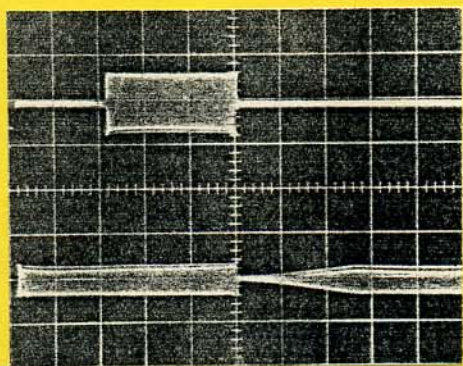
出力 $\uparrow 0.02 \text{V/div}$



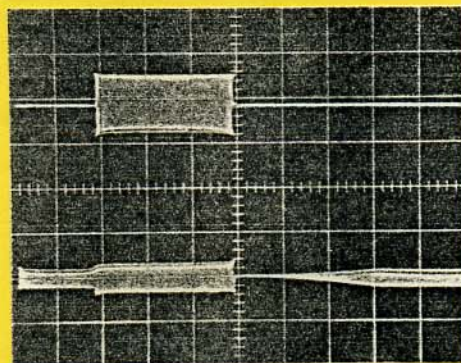
入力 $\downarrow 0.05 \text{V/div}$
 $\leftrightarrow 50 \text{mS/div}$

出力 $\uparrow 0.02 \text{V/div}$

写真9 HSC-P

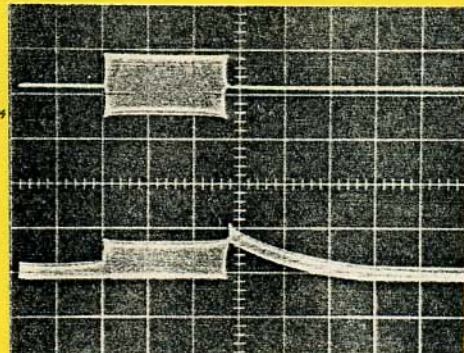
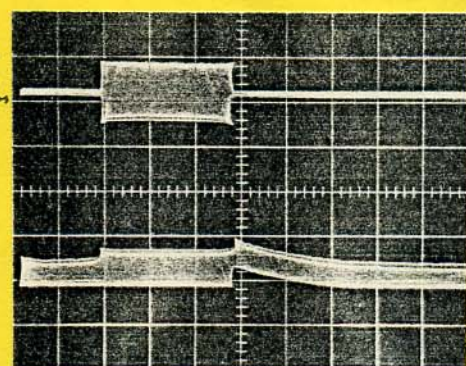


(a)
レベル変化
 $5mV_{rms} \leftrightarrow 50mV_{rms}$
20dB



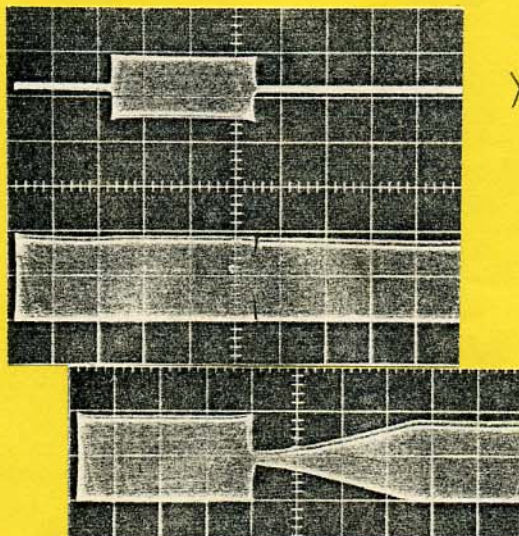
(b)
レベル変化
 $0.5mV_{rms} \leftrightarrow 50mV_{rms}$
40dB

上:入力 $0.1V/din$ 下:出力 $0.05V/din$ $\leftrightarrow 0.5sec/din$



上:入力 $0.1V/din$ 下:出力 $1V/din$ $\leftrightarrow 0.5sec/din$

写真11 HSC-P



入力

特定数

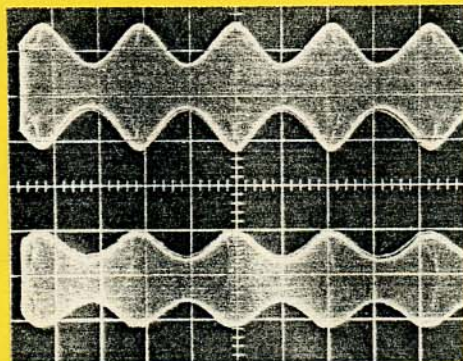
最小

中央

最大

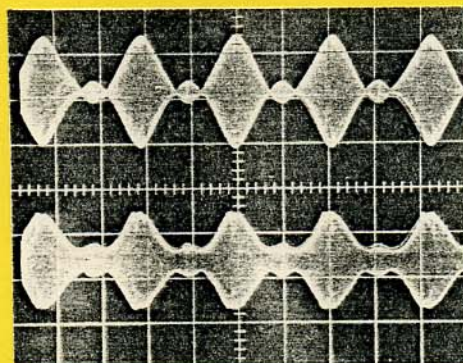


写真 12
HSC-P



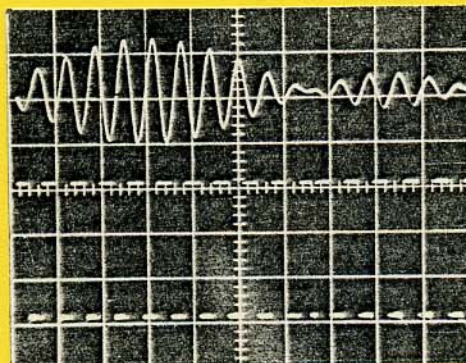
(a) $E > 0$

上: 入力 0.05 V/din
下: 出力 0.02 V/din
 $\leftrightarrow 50 \text{ m s/din}$



(b)

写真 13 (a) コンバーラー出力

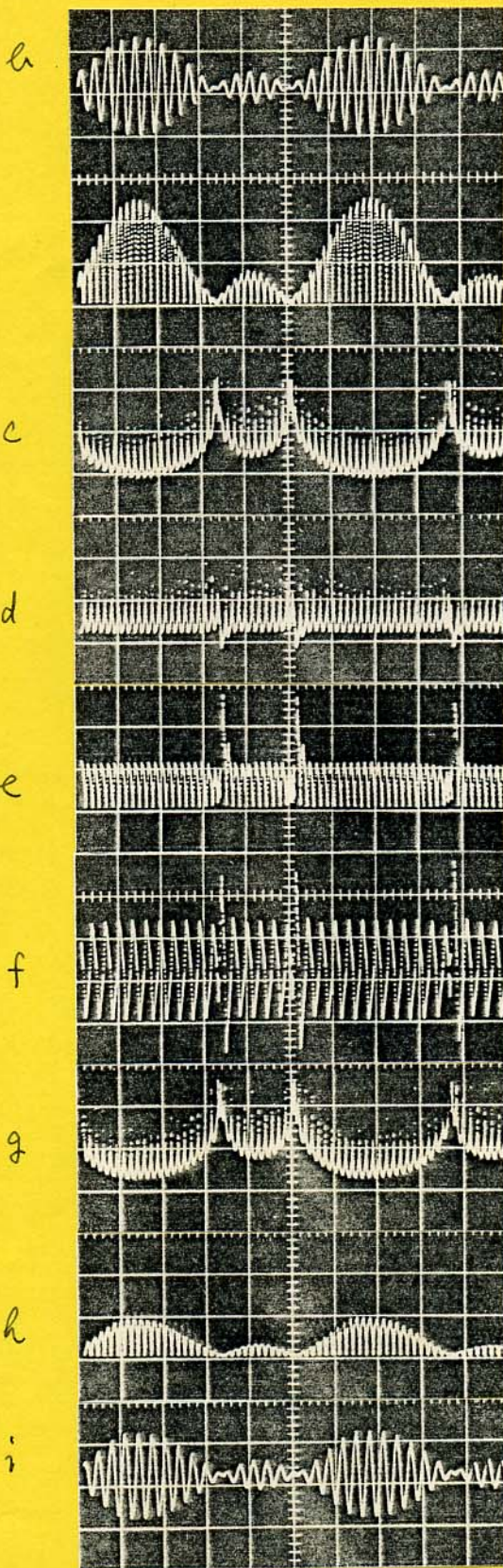


入力 0.05 V/din

$\leftrightarrow 10 \text{ m s/din}$

B5... 5 V/din

写真13 HSC の各部の波形



入力 $0.05V/div$ $\leftrightarrow 20mS/div$

C点 $1V/div$

D点 $1V/div$

E点 $1V/div$

HSC-E

F点 $1V/div$

HSC-E

G点 $1V/div$

HSC-E

E'点 $1V/div$

HSC-P

F'点 $1V/div$

HSC-P

G'点 $1V/div$

HSC-P

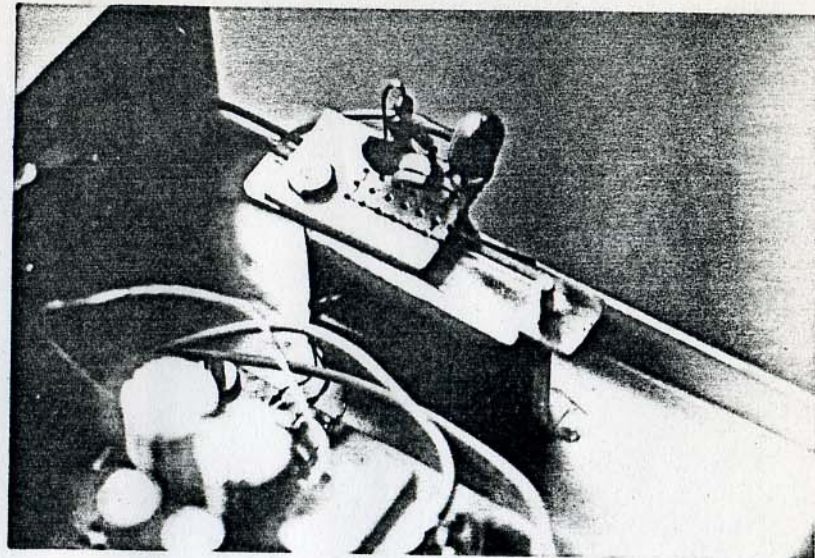
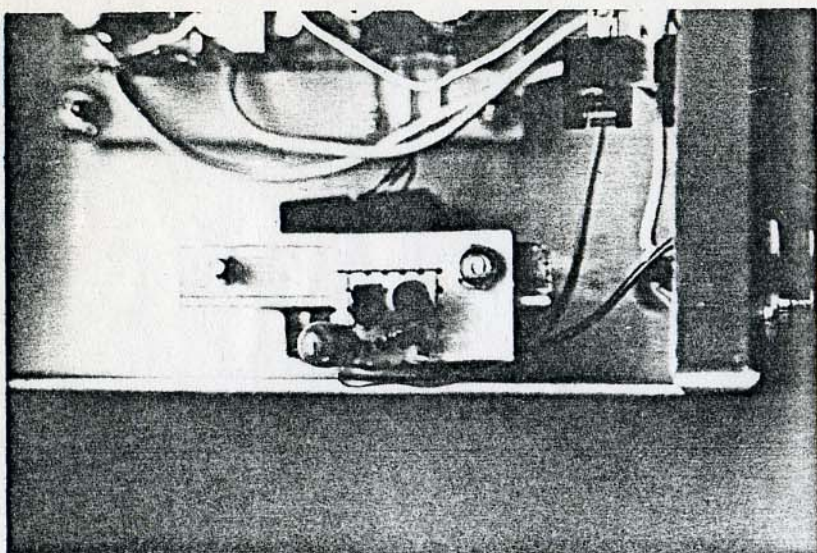


写真14 ↑ DC-DC コンバータ部の クロースアップ。↑

→ 写真
15 内部

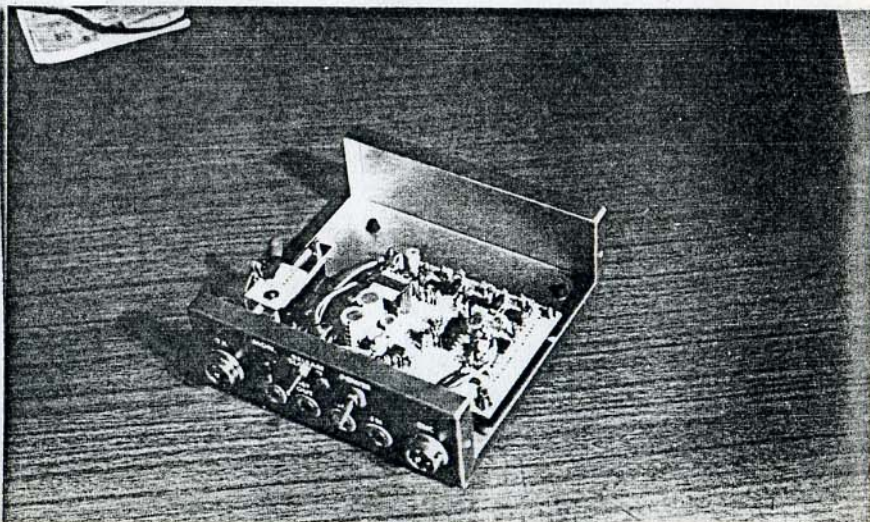


写真16 本機 試作第2号

